

富山湾における植物プランクトン群集の季節的消長

谷口 旭¹⁾・中島羊二²⁾・鈴木利一³⁾・平川和正⁴⁾・今村 明⁵⁾・池田 勉⁶⁾

Seasonal Variations in the Phytoplankton Assembly in Toyama Bay, Southern Japan Sea

Akira TANIGUCHI¹⁾, Yoji NAKASHIMA²⁾, Toshikazu SUZUKI³⁾, Kazumasa HIRAKAWA⁴⁾
Akira IMAMURA⁵⁾, and Tsutomu IKEDA⁶⁾

Abstract

This paper describes the seasonal variations in abundance and species composition of the phytoplankton assembly in Toyama Bay, southern Japan Sea. Samples were obtained by a series of vertical hauls (0-500 m depth) with a 0.10 mm mesh net at intervals of 2-4 weeks over a full one year period from February 1990 through January 1991. Total cell counts of the phytoplankton assembly including diatoms, dinoflagellates and silicoflagellates (dominant in this order) were higher from late autumn to spring and lower in summer. The annual maximum (1.6×10^6 cells/m³) occurred in January and the annual minimum (1.2×10^3 cells/m³) in June. Diatoms (mostly centric species) and silicoflagellates were less frequently observed in summer, when dinoflagellates predominantly occurred forming their seasonal peak. Diatoms were composed of both warm-water and cold-water species, in addition to the dominant cosmopolitan neritic species. Several diatoms were capable of forming blooms from winter (January) to early spring (March) in Toyama Bay. Of these diatoms, the cold oceanic species such as *Chaetoceros atlanticum* and *C. decipiens* seem to be derived from the "Deep-Water" (< 1 °C, 34.05-34.10 PSU) which spreads broadly over the entire Japan Sea.

Key words : cold oceanic species, "Deep-Water", diatoms, phytoplankton assembly, seasonal variations, Toyama Bay

1997年1月13日受理 日本海区水産研究所業績A第510号

¹⁾〒981 仙台市青葉区堤通雨宮町1-1 東北大学農学部

(Faculty of Agriculture, Tohoku University, Aoba-ku, Sendai 981, Japan)

²⁾〒004 札幌市厚別区下野幌テクノパーク 1-2-14 エコニクス(株)

(Econixe, Co. Ltd., Shimonohoro, Atsubetsu-ku, Sapporo 004, Japan)

³⁾〒852 長崎市文教町1-14 長崎大学水産学部

(Faculty of Fisheries, Nagasaki University, Bunkyo-cho, Nagasaki 852, Japan)

⁴⁾〒951 新潟市水道町1丁目5939-22 日本海区水産研究所

(Japan Sea National Fisheries Research Institute, Suido-cho, Niigata 951, Japan)

⁵⁾〒936 富山県滑川市高塚249 富山県沿岸漁業振興公社

(Toyama Prefectural Fish-Farming Center, Takatsuka, Namerikawa 936, Japan)

⁶⁾〒041 函館市港町3丁目1-1 北海道大学水産学部

(Faculty of Fisheries, Hokkaido University, Minato-cho, Hakodate 041, Japan)

緒 言

富山湾は北東に広く開口した日本海南部に位置する大湾で、上層は周年に亘って対馬暖流の影響下にあり、特に対馬暖流の勢力が強勢となる夏から秋には直接的な影響が現れる(HIRAKAWA *et al.* 1992)。また、富山湾は急深な海底であるために、下層を通じて北西沖合から日本海固有水“Deep Water”(水温： $< 1^{\circ}\text{C}$ ，塩分：34.05～34.10)が恒常的に拡がっている。従って、同湾における水柱中の植物プランクトン群集の種組成および現存量は、基本的には沿岸水域の性格を有するものの、湾外から対馬暖流水と日本海固有水の異水塊の影響を受け、その影響の季節変化に応じて顕著な季節的消長を示すものと考えられる。しかしながら、その研究例は未だなく、そして、同湾をはじめとする日本海沿岸域においても植物プランクトン群集は春季にブルーミングを起こすとはいわれているが、その実態を観察した例もほとんどない(NAGATA 1993)。

本研究では、特徴ある海洋学的条件をもつ富山湾において、暖水性、冷水性、あるいは沿岸性、さらに外洋性といわれている植物プランクトンがどのような季節的消長を示すのかを明らかにすることを目的とした。そのような知見は、将来植物プランクトン群集の種遷移を調査することによって、同湾を含む日本海沿岸域における水塊の季節変化や交替および環境収容力を評価するときの有力な基礎知見になると考えられる。

本文に先立ち、標本の採集にご協力戴いた富山県水産試験場調査船“立山丸”的船長並びに乗組員の方々に御礼申し上げます。また、本論文のご校閲を戴いた日本海区水産研究所黒田一紀海洋環境部長に深く心より感謝の意を表する。

材 料 と 方 法

本研究に供した標本は、富山湾湾央部の水深約1000 mのところに設定した定点($37^{\circ} 00' \text{N}$, $137^{\circ} 14' \text{E}$) (Fig. 1)において、1990年2月1日から1991年1月30日にかけて、2～4週間毎に24回の採集によって得た。採集方法は網目の大きさが異なる(0.10 mmおよび0.35 mm)二つのネットからなる双子型ノルパックネット(口径：45 cm, 濾過部の側長：180 cm)による、水深500 mから表面までの鉛直曳採集である。1回につき2本得た標本のうち、本研究に供した標本は0.10 mmメッシュのネットによる採集物である。これらの採集標本は、現場で10%中性ホルマリン海水で固定した後に日本海区水産研究所(新潟)に輸送し、そこで $1/4$ と $3/4$ の2本のサブサンプルに分割した。このうちの $1/4$ サブサンプルを本研究に用いた。因みに、同時に得た0.35 mmメッシュ・ネットによる採集標本は動物プランクトン各種の査定・計数に用いた(HIRAKAWA *et al.* 1992など)。

本調査期間中の海洋学的条件等については、HIRAKAWA *et al.* (1992)およびHIRAKAWA and IMAMURA (1993)に記載されている。

検鏡については以下の方法によった。初めに $1/4$ サブサンプル全量をメスシリンダーに移し、その容積を正確に測定した。次に、細胞数により変化するが、その一部、多くの場合は1 mlまたは0.5 mlを正確に分取してガラス製検鏡チャンバー(谷口1986)に移し、12時間以上静置してプランクトンを沈澱させたものを検鏡した。検鏡には倒立型顕微鏡(OLYMPUS CK)を用いた。基本的には、接眼 $10\times$ と対物 $20\times$ のレンズを用いてチャンバーの全底面を検鏡し、種の同定および細胞数の計数を行った。ただし、細胞数が極めて多い種の場合には、チャンバー底面積の $1/10$ を検鏡した。

この検鏡による計数データと、ネットに取り付けられた濾水計による濾水量のデータから、海水1m³当たりの細胞数を求めた。なお、同定された種は珪藻、渦鞭毛藻および珪質鞭毛藻に属するものであった。

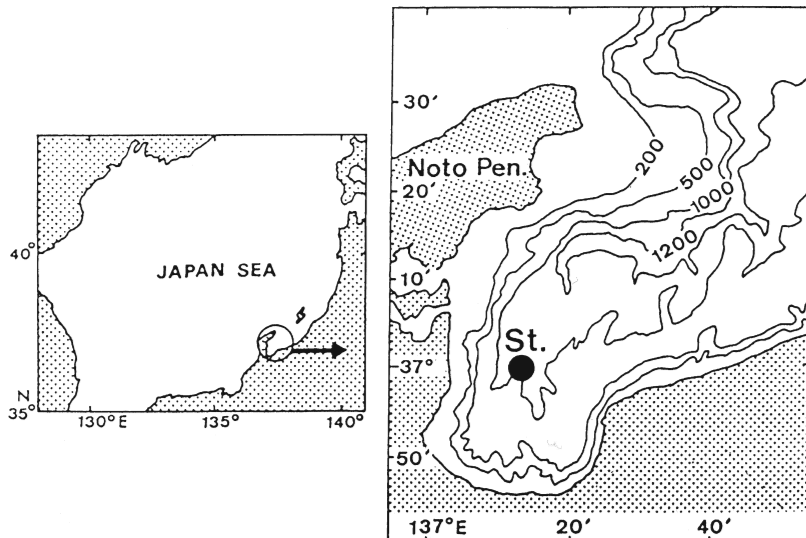


Fig. 1. Map showing the location of Toyama Bay (left), and position of the present sampling station in the central part of Toyama Bay (right). Bathymetric contours (200, 500, 1000 and 1200 m) in Toyama Bay are also shown.

結果および考察

1 植物プランクトン種数の季節変化

1990年2月1日から1991年1月30日までに24回のサンプリングで認められた植物プランクトンは、種まで分類同定できなかったものを含めて122分類群であった。その内訳は珪藻(diatoms)76種、渦鞭毛藻(dinoflagellates)44種、珪質鞭毛藻(silicoflagellates)2種であった。これらのうち、115種は種のレベルまで分類同定できたが、残り7群は属レベルまでの同定しかできなかった。さらに、種まで同定された115種の内訳は珪藻70種、渦鞭毛藻43種、珪質鞭毛藻2種であった(Appendix 1)。1サンプル中の出現種数が最小だったのは、1990年6月3日の17種で、最大は1990年12月5日の58種であった(Fig. 2)。

2 植物プランクトン細胞数密度の季節変化

植物プランクトンの総細胞数(珪藻、渦鞭毛藻、珪質鞭毛藻の合計)(Fig. 3)は、最小 1.16×10^3 cells/m³(1990年6月15日)から最大 1.60×10^6 cells/m³(1991年1月16日)の範囲で変化し、全体的に夏に少なく晩秋～春に多かった。採集方法が500mから表面までの鉛直曳であったので、植物プランクトンの主分布層である表層水柱中の細胞数密度として表される通常の値に比べて、本研究の結果はかなり過小評価されているものと考えなければならない。

全体的にみれば、珪藻、渦鞭毛藻、珪質鞭毛藻の3分類群の優占順位は、種数および細胞数のいずれで見てもこの順で高く、珪藻の中では中心目(Centrales)のものが多かった(Fig. 4)。

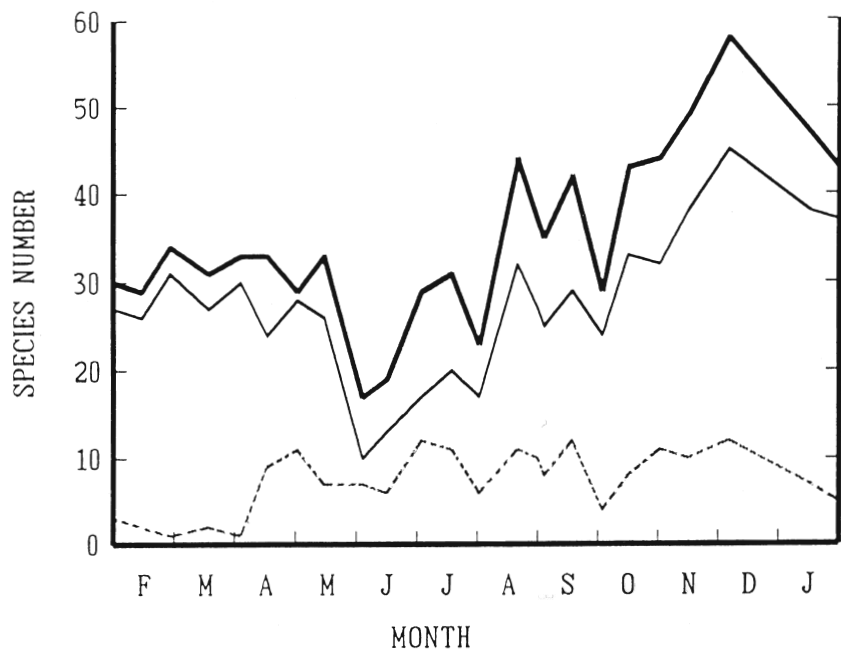


Fig. 2. Seasonal variation in the species number of total phytoplankton assembly (bold line) including diatoms (solid line) and dinoflagellates (dotted line) which were dominated in this order in Toyama Bay observed during the period from February 1, 1990 to January 30, 1991.

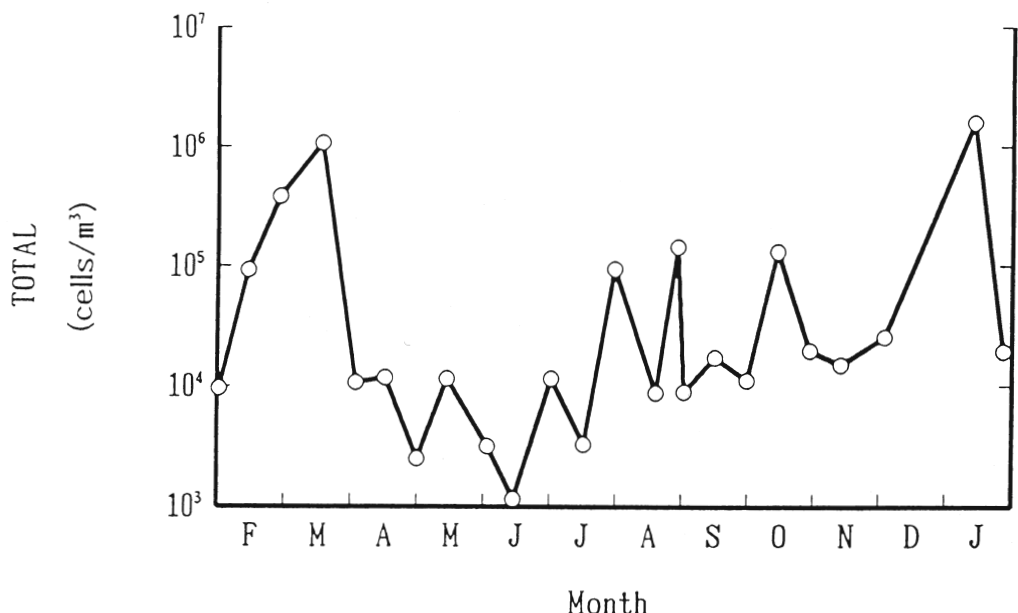


Fig. 3. Seasonal variation in the total number of phytoplankton cells m^{-3} including diatoms, dinoflagellates and silicoflagellates in Toyama Bay observed in the period from February 1, 1990 to January 30, 1991.

ただし、1990年6月3日には渦鞭毛藻が最も優占し、また、1990年5月1日、6月15日、10月2日および11月1日には、珪藻の中で中心目よりも羽状目(Pennales)が優占した。3分類群組成の季節変化を要約すると、珪藻は春と晩秋に多くて夏に少ない傾向があり、反対に渦鞭毛藻は夏から冬にかけて多い傾向がみられた(Fig. 4)。他方、珪質鞭毛藻は珪藻と同様に春と晩秋に多かったが、春から夏には全く出現しなかった。しかし、このことは、必ずしも珪質鞭毛藻自然群集の季節変化を示しているとは限らない。なぜならば、この分類群の細胞サイズは100 μm 以下なので、0.10 mmメッシュネットで採集された本サンプルに出現した細胞は、例えば珪藻が大量に採集されたときにはネットの目詰まりが起こった結果として採集されたものであり、反対に自然プランクトン群集中に珪質鞭毛藻が存在していたとしても、全プランクトン量が少ないとときには、珪質鞭毛藻はネット地網目から抜け出したためにサンプル中に採集されなかつた可能性が考えられるからである。

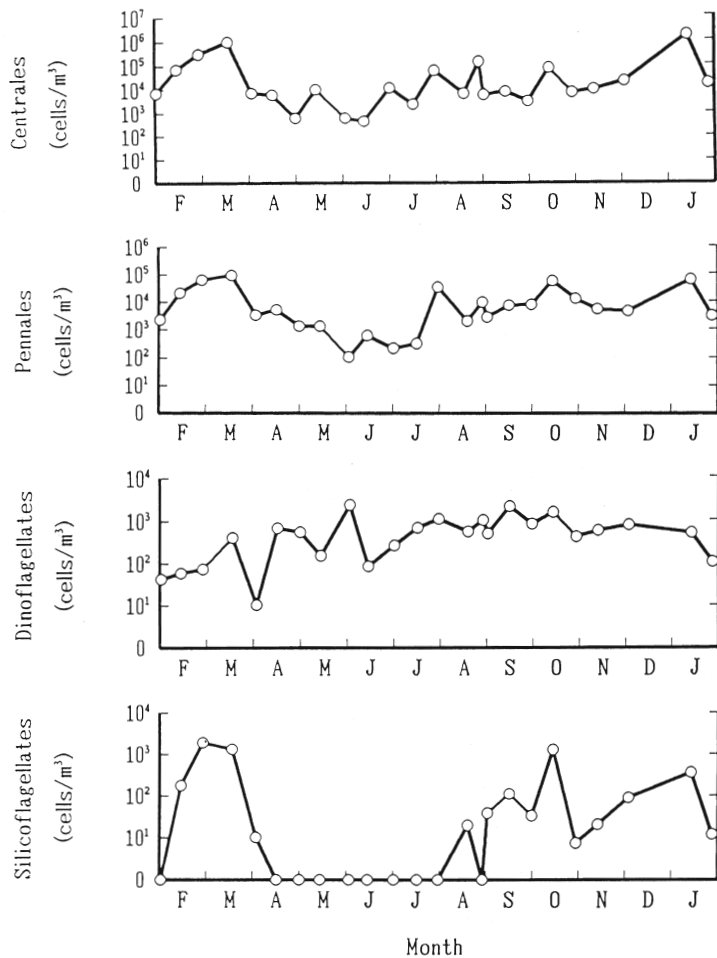


Fig. 4. Seasonal variations in the number of cells m^{-3} of centric (top) and pennate (second top) diatoms, dinoflagellates (second bottom) and silicoflagellates (bottom) in Toyama Bay observed during the period from February 1, 1990 to January 30, 1991. Cell number is expressed on a logarithmic scale.

3 地理学的分布特性による出現種の類型区分

種のレベルまで同定が可能であった115種については、主に山路(1966)、丸茂ほか(1966)を参考にして、その地理学的分布特性を判定した。その結果に基づき、分布特性が明らかな種を次のように5群に類型区分した。

- ①暖水性外洋種(Warm Oceanic Species：以下WO種と記す)
- ②暖水性沿岸種(Warm Neritic Species：以下WN種と記す)
- ③冷水性外洋種(Cold Oceanic Species：以下CO種と記す)
- ④冷水性沿岸種(Cold Neritic Species：以下CN種と記す)
- ⑤その他の(Other species：分布域が広いコスモポリタン種、あるいは分布を特定できない種および種の同定ができなかった種)

全植物プランクトン群集を珪藻類と渦鞭毛藻類とに分けて、各グループ中の5群の組成を、種数および細胞数による比率で示した(Figs. 5, 6)。ただし、次にあげる種とその変種(Variety)や品種(Forma)は、それらを合せて1種として計算した。

*Bacteriastrum comosum*と*Bacteriastrum comosum* v. *hispida*
*Chaetoceros affine*と*Chaetoceros affine* v. *circinale*
*Chaetoceros didymum*と*Chaetoceros didymum* v. *anglica*
*Rhizosolenia alata*と*Rhizosolenia alata* f. *indica*
*Ceratium carriense*と*Ceratium carriense* v. *volans* f. *ceylanicum*
*Ceratium fusus*と*Ceratium fusus* v. *seta*
*Ceratium gibberum*と*Ceratium gibberum* f. *sinistrum*
Ceratium lunula f. *brachyceros*と*Ceratium lunula* f. *megaceros*
*Ceratium macroceros*と*Ceratium macroceros* v. *gallicum*

(1) 珪藻群集

珪藻の分布類型(Fig. 5)のうちOthersが多い月は1990年2～3月、6～7月、1991年1月であった。このうち2～3月に卓越したOthersの種は、コスモポリタン種の*Nitzschia seriata*, *Skeletonema costatum*, *Talassionema nitzschioides*で、6～7月にはこの3種に加えて*Rhizosolenia alata*も多く、1月には専ら*Skeletonema costatum*が卓越した。その他の月では、WOおよびWN種が多く、総細胞数ではWN種が目立ち、そして種数ではWO種がかなり多かった。これは、対馬暖流がWO種を多数運んで来るものの、それらは沿岸性環境を保持する富山湾では増殖できず、富山湾で増殖できるのはWN種であることを示していると考えられる。

一方、COおよびCN種の割合は周年小さく、特にCN種が少ないと明らかになった。これらのうち、CO種は沖合の冷水塊に起源し、またCN種は韓国東岸の沿岸水に起源したものと想定されるが、それらはそれぞれ富山湾の深層で連なる日本海固有水を通じて、あるいは対馬暖流と混合した韓国沿岸水によって輸送されてきたものと考えられる。これらの二通りのルートのうち富山湾において実現性がより高いものは、沖合の日本海固有水からのルートであると考えられ、このことが、CO種に比較してCN種が少なかった理由であると推測される。また、細胞数比でもCO種の比率が高くなることは、この推測が妥当であることを支持すると考えられる。

(2) 渦鞭毛藻群集

渦鞭毛藻は珪藻に比べて細胞数が少ないため、一定した傾向があるとは言い難いが、富山湾の渦鞭毛藻群集には周年CO種が出現しないという傾向は極めて特徴的であった(Fig. 6)。

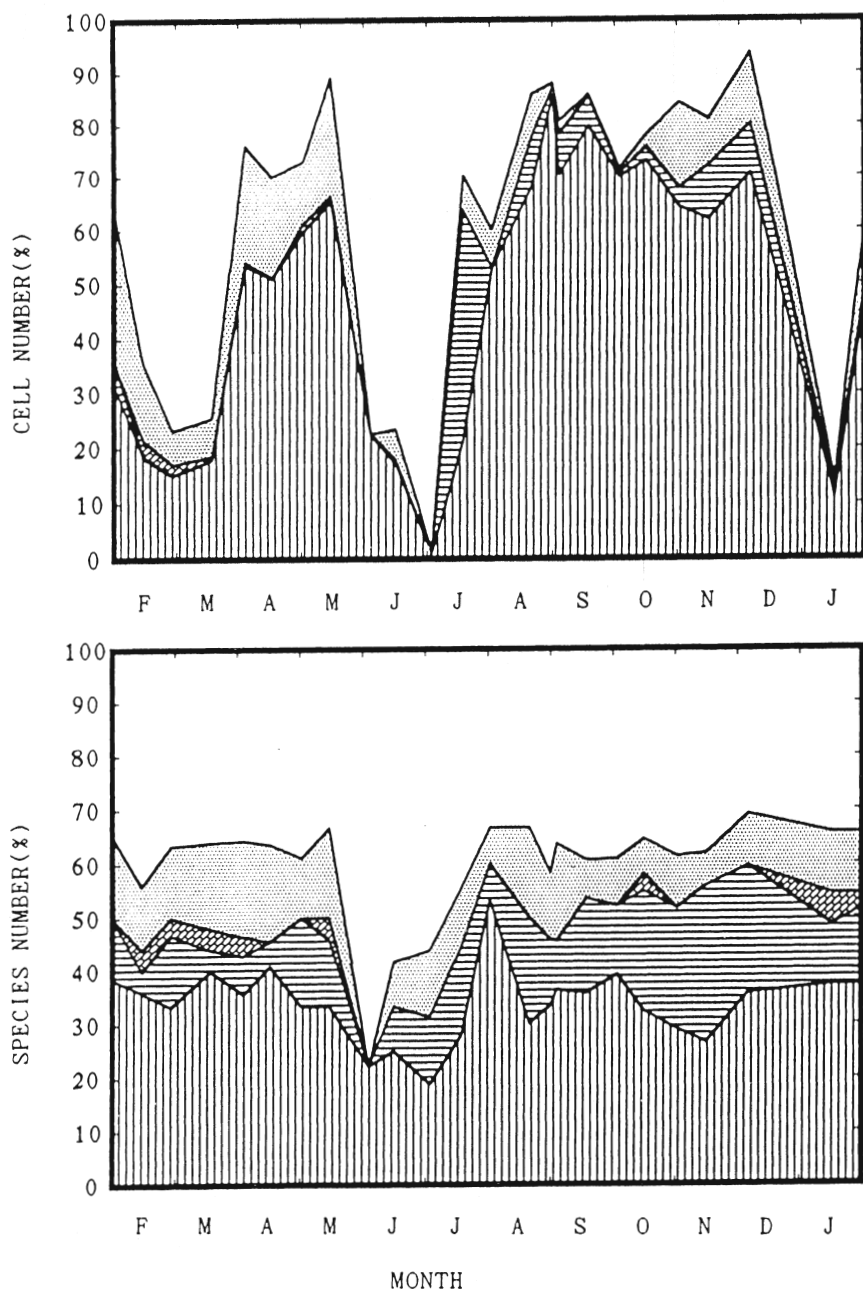


Fig. 5. Seasonal variations of the distributional group composition by number of cells (top) and by number of species (bottom) of the diatom populations. Distributional groups are from top to bottom: Other Species (white), Cold Oceanic Species (dot), Cold Neritic Species (mesh), Warm Oceanic Species (horizontal line) and Warm Neritic Species (vertical line).

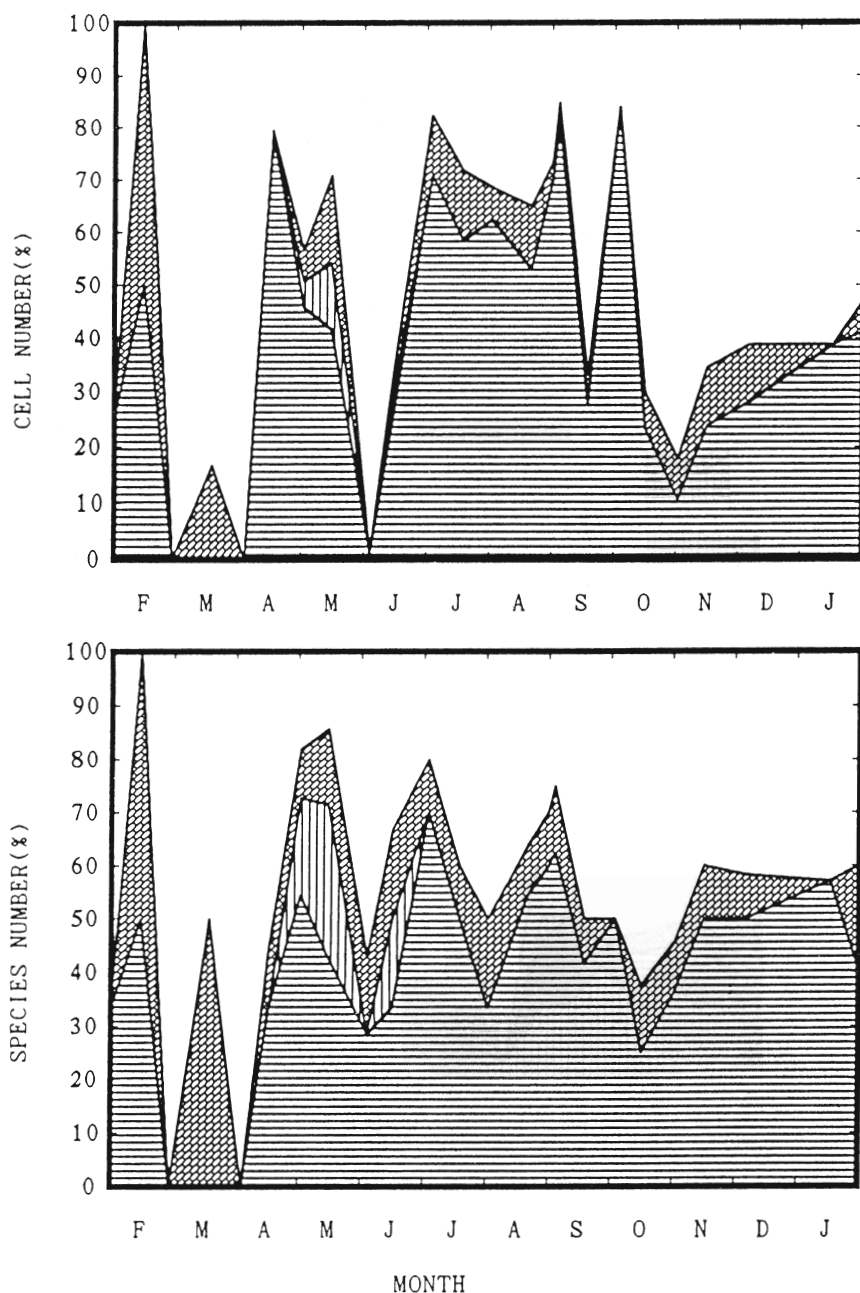


Fig. 6. Seasonal variations of the distributional group composition by number of cells (top) and by number of species (bottom) of the dinoflagellate populations. Distributional groups are from top to bottom: Other Species (white), Cold Neritic Species (mesh), Warm Neritic Species (vertical line) and Warm Oceanic Species (horizontal line).

このことは、日本海沖合の固有冷水中には元来渦鞭毛藻の冷水性外洋種がほとんど存在しないことによるものであり、富山湾の渦鞭毛藻群集に対して冷水性外洋水が何ら影響を与えていないということを示すものではない。また、渦鞭毛藻ではWN種よりWO種の方が種数、細胞数ともに多く、WN種は1990年4～6月にわずかに出現したにすぎなかった。この傾向もまた、珪藻の季節変化パターンとは違うものであった。ただし、WO種は1990年3月には、全く出現しなかった。

以上の結果は、渦鞭毛藻のうち沿岸性の主要種は、群体を形成しない小型球形の*Protoperidinium*や*Prorocentrum*などの種であるので、0.10 mmメッシュでは充分に採集されなかつたことを反映している。本サンプル中に高い頻度で出現した主な渦鞭毛藻類は長大な突起を有する*Ceratium*属であり、これらは0.10 mmのネットでも充分捕集されたものと考えられる。従って、0.10 mmネット採集サンプルに基づく場合には*Protoperidinium*や*Prorocentrum*では正確に水塊判定はできないけれども、*Ceratium*属による水塊指標性は0.10 mmネット採集サンプルでは有効であるといえる。

4 季節変化の類型分け

本研究によって富山湾に出現する全植物プランクトン種は、その出現様式によって、周年出現種、春秋出現種、春夏出現種、冬春出現種、夏冬出現種、秋出現種、冬出現種、および稀少な種をsporadic種とし、合計8群に類型分けすることができた。以下にその例について述べる。

①周年出現種

*Thalassiothrix frauenfeldii*のように周年絶えず出現した種と、稀に出現しない日があつてもほとんどの採集日にかなりの細胞数が出現したので、おそらく富山湾には周年分布していたであろうと判断される*Nitzschia seriata*や*Thalassionema nitzschiooides*のような種を合わせてこのタイプとした。

このタイプには、細胞数密度の大きな優占種や沿岸性種が多数含まれる。その中には、冷水性外洋種である*Chaetoceros decipiens*や*Thalassiothrix longissima*も見られた。これらの種は沖合の冷水塊に起源すると考えられるが、果たして表層水の混合過程によって富山湾へ運ばれたものか、沖合冷水塊へと連なる富山湾の深層水を通じて分布してきたものであるのかの判定はできない。しかし、冷水性外洋種である*C. decipiens*が、対馬暖流を越えて反対側の富山湾に周年大量に出現したことは特筆に値する。

②春秋出現種

1990年2月から4月まで、および1990年8月から10月までに出現した種をこのタイプとした。

③春夏出現種

1990年2月から7月まで継続的に出現したが、他の月には極めて稀にしか出現しなかつた種をこのタイプとした。

④冬春出現種

1990年4月から10月の期間を通じて、あるいはその期間のある月には出現しなかつたが、その他の月にはかなり普遍的に出現した種をこのタイプとした。このタイプには冷水性種が多く見られた。優占種となったのは*Chaetoceros atlanticum*と*Odontella longicruris*の2種であった。前者*C. atlanticum*は典型的な冷水性外洋種であり、沖合の冷水塊に起源したものと推測される。

⑤秋出現種

1990年8月から11月までに出現した種をこのタイプとした。

⑥夏冬出現種

1990年5月から1991年1月まで継続的に出現した種をこのタイプとした。このタイプには暖水性種が多く、細胞数密度の大きな優占種も5種含まれる。

⑦冬出現種

1990年12月から1991年1月の期間に出現が限られており、かつそのときの細胞数密度が大きかったものをこのタイプとした。このタイプには、冷水性種である*Chaetoceros debile*および*C. radicans*の2種が類別された。

⑧Sporadic出現種

比較的出現細胞数が少なく(10^4 cells/m^3 以下)、散発的に出現した種をこのタイプとした。

5 優占種の季節的消長

本研究期間を通して、一度でも全植物プランクトン群集中の第1位から第3位までの優占種になった種の季節的消長を記す。珪藻類は属名と種小名のアルファベット順に記述した。渦鞭毛藻類の優占種は1種だけであった。

(1) 硅藻類

Bacteriastrum hyalinum (Fig. 7 top)

本種は、山路(1966)によれば、黒潮沿岸にきわめて普通とされ、丸茂ほか(1966)によれば、日本近海では黒潮域に広く分布する沿岸性種で、量も多いとされている。本種を暖水性沿岸種に区分した。

富山湾では、6月に一時的に姿を消したが、1990年4月中旬から1992年1月中旬まで出現した。これは、表層水温の上昇期(4~9月)から冷却期(10月~1月)に相当する。逆から見れば、本種は表層(表面から150~200 mまで)の海水が対流混合する最低水温期(2~4月初旬)には出現しなかったといえる。細胞数密度の最大値は1990年8月30日の $3.51 \times 10^4 \text{ cells/m}^3$ であった。この採集日には第一優占種、また、9月3日には第二優占種となった。

Chaetoceros affine (Fig. 7 second top)

本種は、山路(1966)によれば、世界の海洋の沿岸内湾にきわめて広く分布するとされ、また、丸茂ほか(1966)によれば、分布は非常に広く、特に沿岸部に多量に出現する代表的暖水沿岸指標種とされている。本種を暖水性沿岸種に区分した。

富山湾では、1990年6月から7月の短期間を除き、周年出現していた。細胞数密度は高く、その最大値は1990年3月17日の $2.61 \times 10^4 \text{ cells/m}^3$ であった。また、5月14日には全プランクトン群集中で第一優占種、8月30日には第二優占種、10月2日および10月15日には第三優占種となった。

Chaetoceros atlanticum (Fig. 7 second bottom)

本種は、山路(1966)によれば、北方外洋性で、日本海のリマン海流や太平洋の親潮沿岸に普通に見られ、冬季には四国の高知沿岸域(土佐湾)まで発見される。また、丸茂ほか(1966)によれば、日本近海では親潮沖合域で普通に見られ、量が多く代表的な親潮指標種とされている。本種を冷水性外洋種に区分した。

富山湾では夏から秋(6~10月)には出現せず、冬から春(12月~5月)にかけて出現した。細胞数密度の最大値は1990年3月17日の $1.97 \times 10^4 \text{ cells/m}^3$ であった。1990年2月1日には $1.4 \times 10^3 \text{ cells/m}^3$ の出現にすぎなかったが、全植物プランクトン量が少なかったために本種は第二優占種となった。

OHWADA(1972)は、1969年に日本海の珪藻分布を調べ、2月の沖合域では、*C. atlanticum*が

表面から300 mまで優占したと述べている。また、同年10月には、冷水域の50 m以深に出現し、特に90~100 mの深さが本種の分布の中心であると報告している。本種は、北方の日本海固有冷水の表面を起源とし、そこから南に向かうにつれて次第により深い冷水の中を好環境として分布するものと推定される。本研究において、本種が表層水温が最低になる以前の、100~200 m層に対馬暖流起源の高塩分水がまだ分布している冬・春季(12月~2月)にも富山湾に出現したのは、この高塩分水の下層すなわち200 m以深に存在する冷水中に分布していたものが、500 mからの鉛直曳きによって採集されたものと考えられる。

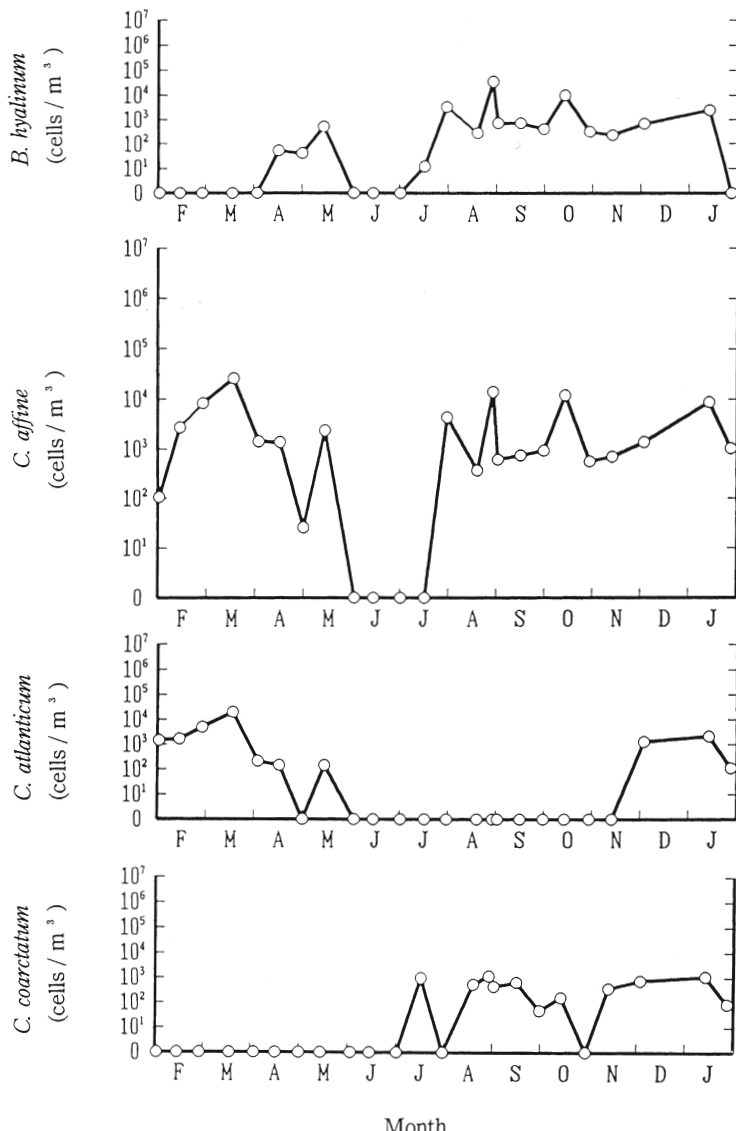


Fig. 7. Seasonal variations in number of cells m^{-3} of *Bacteriastrum hyalinum* (top), *Chaetoceros affine* (second top), *Chaetoceros atlanticum* (second bottom) and *Chaetoceros coarctatum* (bottom) in Toyama Bay observed during the period from February 1, 1990 to January 30, 1991. Cell number is expressed on a logarithmic scale.

Chaetoceros coarctatum (Fig. 7 bottom)

本種は、山路(1966)によれば、熱帯または亜熱帯性であるが、かなり広く分布し、日本近海にも普通に出現する。また、丸茂ほか(1966)によれば、日本近海では黒潮域に多い外洋性の熱帯ないし亜熱帯種で、夏期の代表的な黒潮指標種とされている。本種を暖水性外洋種に区分した。

富山湾では対馬暖流水が侵入しはじめる1990年7月から出現しはじめ、表層水が完全に対流混合する最低水温期前(1991年1月)まで採集された。細胞数密度の最大値は1990年8月30日の 1.21×10^3 cells/m³であった。7月17日には全植物プランクトン量が極めて少なかったので、本種は僅かにしか出現しなかったが(1×10^3 cells/m³)、全群集中の第一優占種となった。

Chaetoceros compressum (Fig. 8 top)

本種は、山路(1966)によれば、熱帯から寒海まで広く分布し、内湾に普通に産するとされ、丸茂ほか(1966)によれば、日本近海では最も広範囲に分布する種類の一つとされている。本種を暖水性沿岸種に区分した。

富山湾では、1990年2月および7月を除いて周年出現し、細胞数密度の最大値は1990年3月17日の 3.73×10^4 cells/m³であった。1990年6月3日には、細胞数密度がわずかに56 cells/m³にすぎなかったが、全植物プランクトン量も極めて少なかったために第三優占種となった。

Chaetoceros curvisetum (Fig. 8 second top)

本種は、山路(1966)によれば暖海沿岸性で、日本近海では夏秋に多産するとされ、丸茂ほか(1966)によれば、沿岸性、南方温帶種とされ、分布は非常に広いとされている。本種を暖水性沿岸種に区分した。

富山湾では、6～8月の最高水温期を除く期間に出現した。ただし、5月と9月初め、ならびに11月には、一時的に採集されなかった。細胞数密度の最大値は1990年3月17日の 6.30×10^4 cells/m³であった。これよりも出現量が少なかった1990年5月14日(1.5×10^3 cells/m³)には第三優占種、10月15日(1.3×10^4 cells/m³)には第二優占種となった。

Chaetoceros decipiens (Fig. 8 second bottom)

本種は、山路(1966)によれば、温帶および寒海性で、沿岸内湾に極めて普通で、大量に出現し、特に冬季に多いと報告されている。また、丸茂ほか(1966)によれば、量が多く広域に分布する外洋性、かつ冷水性種であるとされている。本種を冷水性外洋種に区分した。

富山湾では周年出現し、本種が採集されなかつたのは1990年の6月と9月との2回だけであった。細胞数密度の最大値は1990年3月17日の 5.38×10^4 cells/m³であった。1990年2月14日、2月28日、8月1日および12月5日には第三優占種、4月3日、4月16日、5月1日および5月14日には第二優占種となつた。

Chaetoceros didymum (Fig. 8 bottom)

本種は、山路(1966)によれば、高温性で、暖海の沿岸内湾に普通に産する。また、丸茂ほか(1966)によれば、沿岸性、南方温帶種で、日本近海では暖流の影響を受ける沿岸域で特に多く、暖流指標種の一つとされている。本種を暖水性沿岸種に区分した。

富山湾ではほぼ周年出現したが、5～10月の暖水期には量が少なく、特に8月下旬～11月上旬には、しばしば採集されなくなった。細胞数密度の最大値は1990年3月17日の 6.31×10^4 cells/m³であり、この日には第三優占種となつた。

Chaetoceros didymum v. anglica (Fig. 9 top)

本種は、山路(1966)によれば、広温性で、沿岸内湾に普通に産する。また、丸茂ほか(1966)によれば、沿岸性、南方温帶種で、日本近海では夏期に黒潮と対馬暖流域で普通に出現する

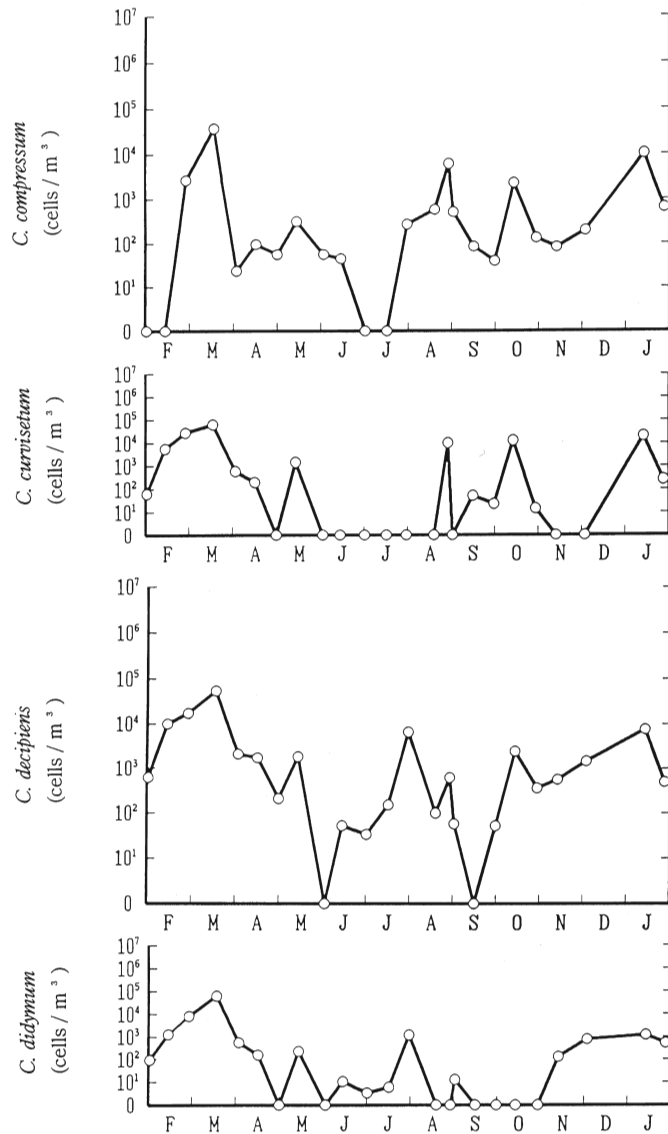


Fig. 8. Seasonal variations in number of cells m^{-3} of *Chaetoceros compressum* (top), *Chaetoceros curvisetum* (second top), *Chaetoceros decipiens* (second bottom) and *Chaetoceros didymum* (bottom) in Toyama Bay observed during the period from February 1, 1990 to January 30, 1991. Cell number is expressed on a logarithmic scale.

とされている。従って、この種は本来ならば暖水性外洋種とすべきところであるが、本研究では*C. didymum*と合わせてともに暖水性沿岸種に区分した。

富山湾では、対馬暖流水が卓越する暖水期である7月から冬にかけて出現するとともに、最低水温期である3～4月から5月にも出現した。細胞数密度の最大値は、1990年8月1日の $2.59 \times 10^4 \text{ cells/m}^3$ であり、第一優占種となった。極めて出現量が少なかった8月20日(983 cells/ m^3)およびかなり出現量が多かった8月30日($2.27 \times 10^4 \text{ cells/m}^3$)にも、ともに第二優占種となった。

Chaetoceros lorenzianum (Fig. 9 second top)

本種は、山路(1966)によれば、暖海沿岸性で、内湾に大量に出現する普通の種とされ、また、丸茂ほか(1966)によれば、沿岸性、熱帶ないし温帶種で、日本近海では季節に関係なく、寒流域以外のいたる所に多産するとされている。本種を暖水性沿岸種に区分した。

富山湾では暖水期から冷却期にかけての1990年7月中旬から1991年1月下旬に出現し、その他の時期には見られなかった。細胞数密度の最大値は1990年8月1日の 1.14×10^4 cells/m³であった。この日および1990年7月17日(488 cells/m³)には第二優占種、8月20日(878 cells/m³)および11月15日(986 cells/m³)には第三優占種となった。

Guinardia flaccida (Fig. 9 second bottom)

本種は、山路(1966)によれば、暖海の沿岸や外洋に広く分布するとされ、また、丸茂ほか(1966)によれば、沿岸性暖水種で、日本近海では沿岸にも外洋にも普通の黒潮指標種とされている。本種を暖水性沿岸種に区分した。

富山湾における季節的消長は*C. lorenzianum*と類似しているが、出現開始時期はさらに遅く、表層水温が年間最高値になる8月から出現し始めて、1991年1月下旬まで出現した。細胞数密度の最大値は1990年8月30日の 5.59×10^3 cells/m³であった。9月3日(627 cells/m³)および9月17日(819 cells/m³)には出現量は少なかったが、全植物プランクトン群集中の第三優占種となった。

Nitzschia seriata (Fig. 9 bottom)

本種は、山路(1966)によれば、沿岸内湾性で、暖水域から冷水域を含む世界の海洋に産するとされ、また、丸茂ほか(1966)によれば、寒海沿岸性とされている。本種を暖水域から冷水域の沿岸域から外洋域まで極めて広く分布するパンタラシック(panthalassic)種、すなわちOthersに区分した。

富山湾では、6～7月に時として採集されないことがあったものの、ほぼ周年出現した。出現量は全体的に暖水期に少なく冷水期に多い傾向が見られた。細胞数密度の最大値は最低水温期である1990年3月17日に見られ、その値は 7.01×10^4 cells/m³であった。2月28日(4.12×10^4 cells/m³)および3月17日には第二優占種、4月16日(1.50×10^3 cells/m³)には第三優占種となつた。

Odontella longicruris (=*Biddulphia longicruris*) (Fig. 10 top)

本種は、山路(1966)によれば、沿岸浮遊性で、各地で春秋に産するとされ、また、丸茂ほか(1966)によれば、沿岸性、温帶ないし亜熱帶種で、日本近海では各地の沿岸に出現するとされている。本種を暖水性沿岸種に区分した。

富山湾における出現は10月以降翌年の4月までに限られており、とりわけ12～3月の低水温期に出現量が増加していた。細胞数密度の最大値は1990年1月16日の 6.39×10^4 cells/m³であり、第二優占種となつた。1990年12月5日(5.66×10^3 cells/m³)には第一優占種、1991年1月30日(1.63×10^3 cells/m³)には第三優占種となつた。

Rhizosolenia alata (Fig. 10 second top)

本種は、山路(1966)によれば、本来は温帶外洋性であるが沿岸にも多く産し、本州沿岸では春季に多いとされ、丸茂ほか(1966)によれば、沿岸、外洋ともに出現し、日本近海では夏期に、主として黒潮水に多いが親潮水にも見られるとされる。本種をパンタラシック種、すなわちOthersに区分した。

富山湾での出現は暖水期に限られ、1990年6～12月に採集された。細胞数密度の最大値は1990年7月2日の 1.09×10^4 cells/m³であり、この日全群集中の第一優占種となつた。この次

の採集日である7月17日の出現量は極めて少なくなったが(275 cells/m³)、全植物プランクトン量も少なかったために、本種は第三優占種となった。

Skeletonema costatum (Fig. 10 second bottom)

本種は、山路(1966)によれば、世界各地の沿岸内湾に年中極めて多量に出現する普通種とされている。また、丸茂ほか(1966)によれば、沿岸性で分布は広く、日本近海では沿岸や内湾のいたるところに多産し、南部では冬期に、北部では夏期に多いとされている。本種を沿岸コスモポリタン種、すなわちOthersに区分した。

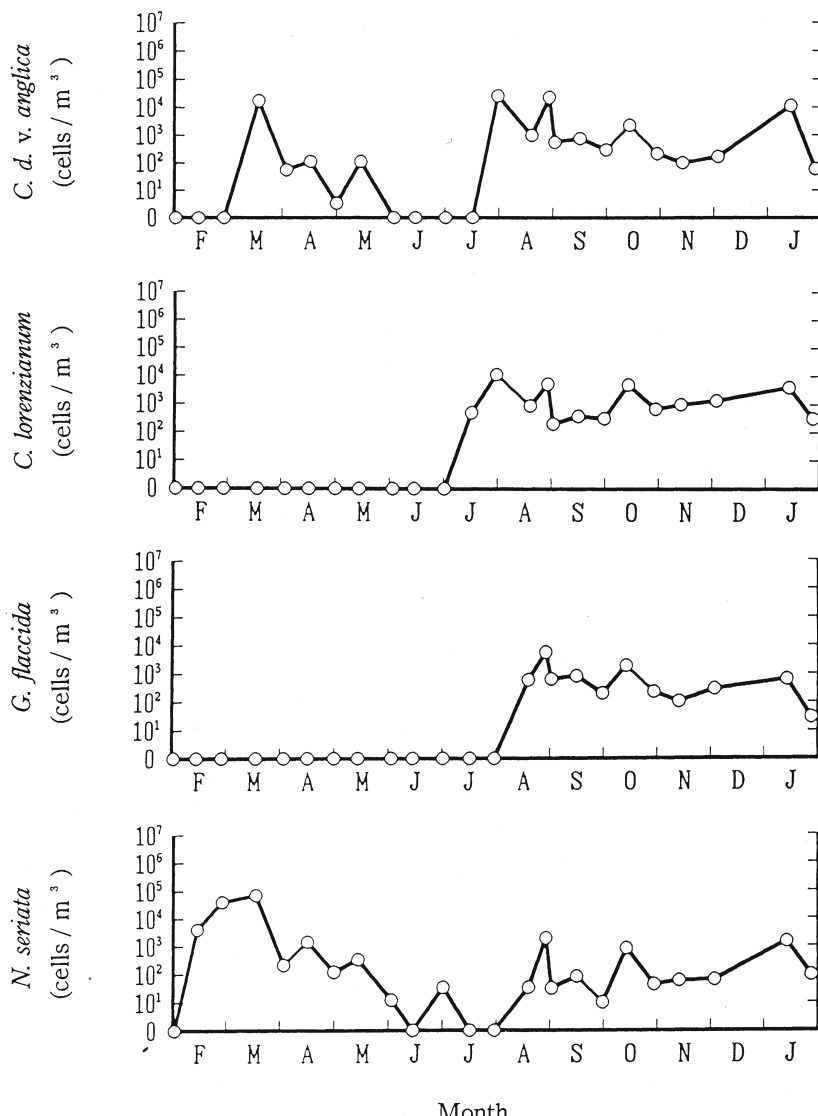


Fig. 9. Seasonal variations in number of cells m³ of *Chaetoceros didymum* v. *anglica* (top), *Chaetoceros lorenzianum* (second top), *Guinardia flaccida* (second bottom) and *Nitzschia seriata* (bottom) in Toyama Bay observed during the period from February 1, 1990 to January 30, 1991. Cell number is expressed on a logarithmic scale.

富山湾では1990年8月に1度だけ全く採集されなかつことを除くと、周年出現した。表層水が昇温し始める4月中旬から対流混合が始まる10月初旬までの出現量は1000 cells/m³以下と少なく、対流混合期の1～3月には10⁴ cells/m³を越える高い値を示した。また、1990年10月にも一時的に10⁴ cells/m³に近い出現量が観察された。細胞数密度の最大値は1990年1月16日に1.34×10⁶ cells/m³に達し、この値は本研究中に観察された全植物プランクトン種を通じての最大値でもあった。本種の卓越度は周年高く、1990年2月1日から4月3日の間、6月3日および1991年1月16日には第一優占種、1990年9月17日および11月15日には第二優占種、1990年4月3日、6月15日および11月1日には第三優占種となった。

Thalassionema nitzschoides (Fig. 10 bottom)

本種は、山路(1966)によれば、世界の各大洋に出現し、日本近海の沿岸内湾にきわめて普通に、かつ、冬・春季に多量に出現するとされている。丸茂ほか(1966)によれば、温帶沿岸域における普通種とされている。本種を沿岸コスモボリタン種、すなわちOthersに区分した。

本種もただ1回の例外(1990年8月)を除いて、富山湾には周年出現した。季節的消長は*S. costatum*と類似し、対流混合期に多く、成層期に少ない傾向が明白であった。細胞数密度の最大値は1990年2月28日の1.29×10⁴ cells/m³であった。1990年6月15日(451 cells/m³)には第一優占種、2月14日(1.10×10⁴ cells/m³)および10月2日(2.42×10⁴ cells/m³)には第二優占種、5月1日(128 cells/m³)には第三優占種となった。

Thalassiothrix frauenfeldii (Fig. 11 top)

本種は、山路(1966)によれば、太平洋、大西洋、インド洋、地中海の沿岸内湾に極めて広く分布し、日本近海の沿岸や内湾にも秋冬季に極めて多いとされる。また、丸茂ほか(1966)によれば、暖海性で、本邦沿岸にも普通に分布するとされている。本種を暖水性沿岸種に区分した。

富山湾では典型的に周年出現パターンが認められ、ほぼ周年に亘って優占度は高かった。細胞数密度は、特に春と秋～冬にはより増加し、1～2月および5～7月に減少したが、出現しないということは一度もなかった。細胞数密度の最大値は1991年1月16日の4.42×10⁴ cells/m³であった。1990年4月3日から5月1日の間、8月20日、および9月3日から11月15日の間には第一優占種、6月3日から7月2日の間、11月1日、および1991年1月30日には第二優占種、1990年2月1日および1991年1月16日には第三優占種となった。

Thalassiothrix longissima (Fig. 11 second top)

本種は、山路(1966)によれば、外洋冷水性で、北太平洋、北大西洋、北海に広く大量に分布し、日本各地では冷水期に普通に見られるとされている。丸茂ほか(1966)によれば、温帶から北方海域で普通に分布するが、特に寒海では大量出現することがあるとされている。本種を外洋性冷水種に区分した。

富山湾では降温期から対流混合期にやや多いものの、高水温期にも少量ではあるが、かなりの頻度で採集された。細胞数密度の最大値は1990年11月1日の2.32×10³ cells/m³であり、このときには第二優占種となった。

なお、NISHIMURA(1969)は、日本海の中央部から南東部海域にかけて珪藻類の*Coscinodiscus wailesii*が冬季から春季にかけて卓越し、日本海におけるブルーミングの主要構成種となることを指摘した。しかしながら、本研究では、*C. wailesii*は全植物プランクトン中で冬・春季(2～5月)に比較的細胞数密度が高かったが(Fig. 11 second bottom)，第1～3位の優占種とはならなかった。

(2) 涡鞭毛藻類

Ceratium lunula f. brachyceros (Fig. 11 bottom)

本種は、山路(1966)によれば、暖海外洋性で、日本近海の暖水域に産するといわれている。本種を暖水性外洋種に区分した。

細胞数密度の最大値は1990年7月2日の64.6 cells/m³であり、この日に第三優占種となつた。この種は本研究期間を通してこの日にしか出現しなかった。また、渦鞭毛藻の種のうち

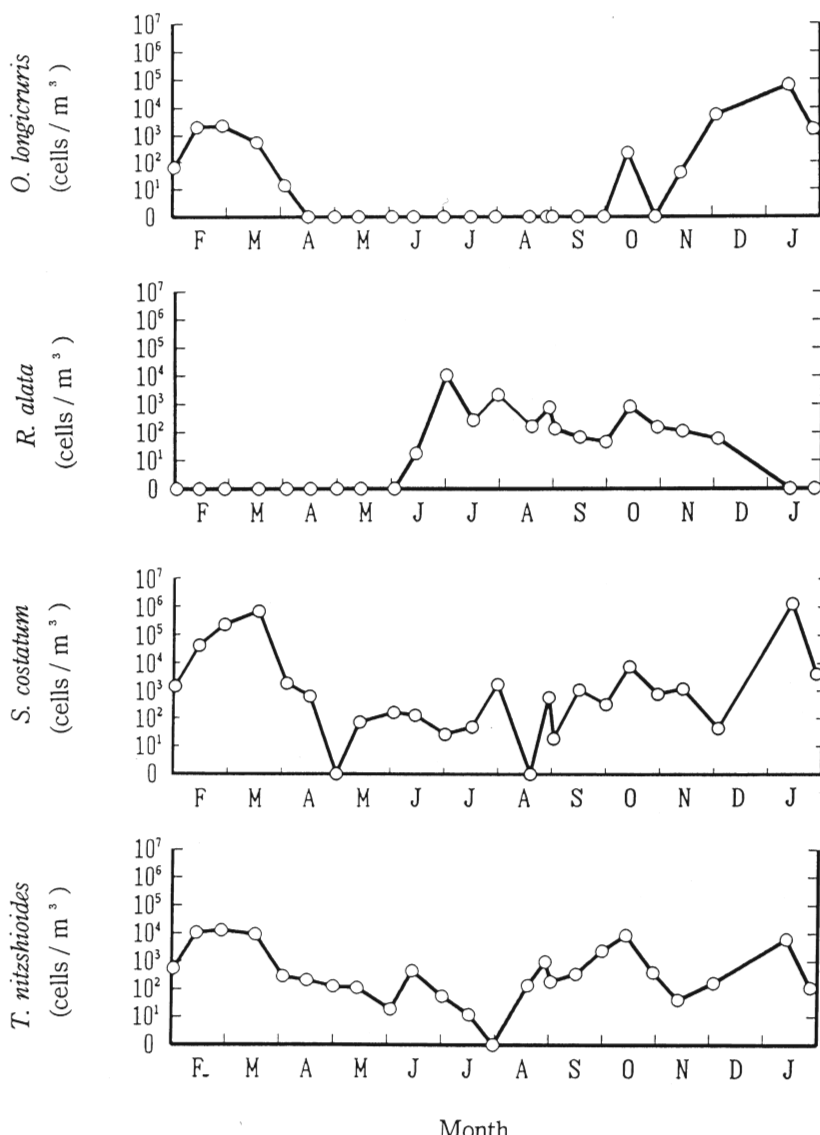


Fig. 10. Seasonal variations in number of cells m^{-3} of *Odontella longicruris* (top), *Rhizosolenia alata* (second top), *Skeletonema costatum* (second bottom) and *Thalassionema nitzschioides* (bottom) in Toyama Bay observed during the period from February 1, 1990 to January 30, 1991. Cell number is expressed on a logarithmic scale.

で富山湾における植物プランクトン群集中の1～3位の優占種となったのは、本種が唯一の一例であった。

以上のことから、富山湾における植物プランクトンのブルーミングは複数種の珪藻類に依存し、冬・春季(1～3月)に起こるものと考えられる。ブルーミングを形成するときの優占

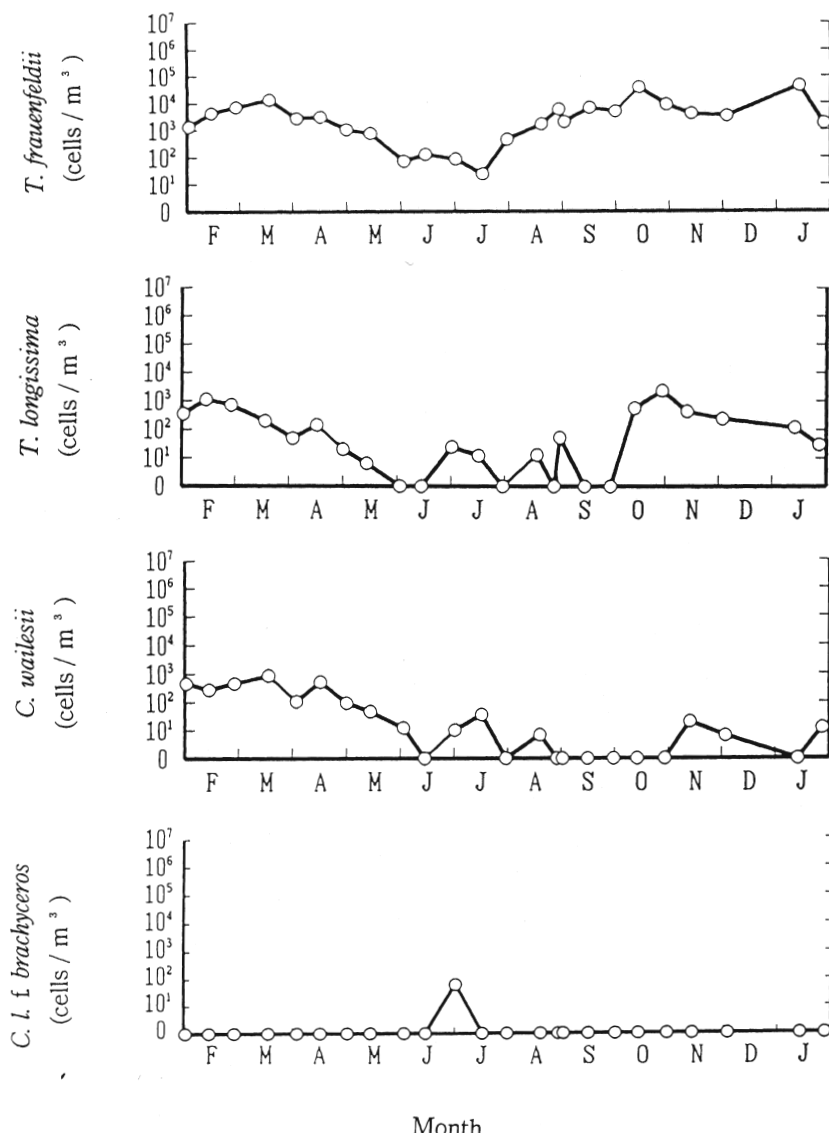


Fig. 11. Seasonal variations in number of cells m^{-3} of *Thalassiothrix frauenfeldii* (top), *Thalassiothrix longissima* (second top), *Coscinodiscus wailesii* (second bottom) and *Ceratium lunula* f. *brachyceros* (bottom) in Toyama Bay observed during the period from February 1, 1990 to January 30, 1991. Cell number is expressed on a logarithmic scale.

種は温帶域の沿岸水に普通に見られる種(*Chaetoceros affine*, *C. curvisetum*, *C. didymum*, *Odontella longicruris*など)や沿岸コスモポリタン種(*Skeletonema costatum*, *Thalassionema nitzschiooides*など)に加えて, *Cheatoceros atlanticum*や*C. decipiens*のような典型的な冷水性外洋種の出現も目立つことが特徴である。これら冷水性外洋種の出現は、従来日本海中央・南東部海域の珪藻ブルームを指標すると言っていた*Coscinodiscus wailesii* (NISHIMURA 1969)よりも、はるかにブルームを良く指標しているといえよう。この現象は、本研究での採集深度が、同時に採集する動物プランクトンの昼夜鉛直距離をも考慮し、500 m深まで達したため、普通実施されている採集方法と比較し、深かったことによるのかどうか、今後検討を要する。

文 献

- HIRAKAWA, K. and IMAMURA, A. (1993) Seasonal abundance and life history of *Metridia pacifica* (Copepoda: Calanoida) in Toyama Bay, southern Japan Sea. *Bull. Plankton Soc. Japan*, **40** (1), 41-54.
- HIRAKAWA, K., IMAMURA, A. and IKEDA, T. (1992) Seasonal variability in the abundance and composition of zooplankton in Toyama Bay, southern Japan Sea. *Bull. Japan Sea Nat. Fish. Res. Inst.*, (42), 1-15.
- 丸茂隆三・川原田裕・高野秀昭 (1966) 日本海洋プランクトン図鑑, 第1巻, 硅藻類その他, 蒼洋社, 東京, 69 pp.
- NAGATA, H. (1993) A phytoplankton bloom recorded in a long-term monitoring of chlorophyll a concentration in the Japan Sea. *Bull. Plankton Soc. Japan*, **39** (2), 145-147.
- NISHIMURA, S. (1969) The zoogeographical aspects of the Japan Sea, Part V. *Publ. Seto Mar. Biol. Lab.*, **17** (2), 67-142.
- OHWADA, M. (1972) Vertical distribution of diatoms in the Sea of Japan. pp. 145-163. In *Biological Oceanography of the Northern North Pacific Ocean*, Idemitsu Shoten, Tokyo.
- 谷口 旭 (1986) 微小動物プランクトン. pp. 191-198. 日本海洋学会編 沿岸環境調査マニュアル(底質・生物篇), 恒星社厚生閣, 東京.
- 山路 勇 (1966) 日本海洋プランクトン図鑑, 保育社, 大阪, 537 pp.

Appendix 1. Cell number (per m³) of total phytoplankton assembly including diatom, dinoflagellates and silicoflagellates in Toyama Bay observed in the period from February 1, 1990 to January 30, 1991

NO DAY	W I	28-2	28-4	28-6	28-8	28-10	28-12	28-14	28-16	28-18	29-2
Bacillariophyceae											
Centrales											
Bacteriastrus cosmopolis	WN	74.2									
Bacteriastrus cosmopolis v. hispida	WN										
Bacteriastrus delicatulum	WN	823.9	301.0	440.4						403.0	
Bacteriastrus hyalinus	WN				1039.5	3.4				513.5	
Bacteriastrus varians	WN	107.0	2578.9	8184.1	25126.1	1400.8	1372.5	26.4	2353.0		
Chaetoceros affine	WN										
Chaetoceros affine v. circinalis	WN										
Chaetoceros atlanticus	CO	1433.8	1525.4	4881.1	19581.2	214.2	150.0		149.5		
Chaetoceros coarctatus	WN				2579.1	37283.4	23.8	97.5	56.1	318.5	55.8
Chaetoceros coeruleus											45.5
Chaetoceros concaviforme	CO										
Chaetoceros curvifilum	WN	64.2	5528.7	27928.7	52993.7	595.0	202.5		1462.5		
Chaetoceros debile	CN										
Chaetoceros declivens	CO	620.6	10113.6	16955.4	53776.8	2070.6	1747.5	211.2	1852.5		52.5
Chaetoceros densus	WN	74.9									
Chaetoceros denticulatus	WN		30.1	183.5	2772.0	54.6			26.0		
Chaetoceros didymus	WN	96.3	1294.3	8330.9	63063.0	561.6	160.0		227.5		10.5
Chaetoceros didymus v. anglica	WN				17602.2	57.8	112.5	3.3	110.5		
Chaetoceros distans											
Chaetoceros diversum											
Chaetoceros frachii	WN										
Chaetoceros lorenzianum	WN										
Chaetoceros messanense	WD										
Chaetoceros peruvianum	WD										
Chaetoceros pseudocurvifilum	WN										
Chaetoceros radicans	CO										
Chaetosphaera vanheurckii	WN										
Ciliophagellidae											
Ciliostomoides fraenfeldianus	WD								26.0		
Coristothron criophilum	COSMO-D	74.9	30.1	36.7							
Coscinodiscus oculusridis	COSMO-D	256.8	150.5	330.3	277.2	6.8	172.5	89.1	13.0	12.4	
Coscinodiscus valleii		460.1	270.9	477.1	900.9	105.4	540.0	92.4	45.5	12.4	
Coscinodiscus sp.		920.2	1836.1	1835.0	3257.1	30.6	112.5		2275.0	316.2	108.5
Ditylum brightwelli	WN	96.3	240.8	183.5	623.7	23.4		22.5			
Eucapsula zodiacus	WN	64.2		844.1	1108.8	20.4		67.5			
Gulardia flaccida	WN										
Hemialfa hauckii	WD										
Hemialfa membranaceus	WN										
Hemialfa siamensis	WN							52.5	16.5		
Lauderia annulata	WN	10.7	30.1	734.0	277.2	162.6	270.0	6.6	58.5	12.4	21.0
Mastogloia sp.						23.4					52.5
Melosira moniliformis											
Melosira sp.											
Odontella longicirrus	WN	54.2	2046.8	2348.8	554.4	13.6					
Odontella mobilensis	CN										
Odontella pulchella											
Odontella siamensis		203.3	602.0	183.5	346.5	20.4	30.0	6.6	6.5		
Planktoniella sol	WD										17.5
Rhizosolenia alata	COS-PAN										
Rhizosolenia alata f. indica	COS-PAN	10.7									
Rhizosolenia bergonii	WD										
Rhizosolenia calcaravis	WD	32.1		36.7				3.3			
Rhizosolenia castrense											
Rhizosolenia cylindrata	WD										
Rhizosolenia fragilissima	COSMO-N										
Rhizosolenia hebetata f. semispina	CD	10.7		385.4	2079.0	23.4	15.0				
Rhizosolenia robusta	WD	69.6		91.8		3.4					
Rhizosolenia setigera	WD	10.7		495.6		27.2	82.5	33.0	78.0	24.8	
Rhizosolenia stolterfothii	WD			387.0	554.4	3.4		6.6	26.0		7.0
Rhizosolenia styliformis		120.4									
Skeletonema costatum	COSMO-N	1444.5	42049.7	228311	572210	1859.8	622.5		71.5	161.2	129.5
Stephanopyxis palmariana	WD	278.2	90.3	145.8		22.5		19.8	26.0		
Thalassiosira decipiens	CN	2799.3	6579.4	6029.1		64.6			19.5		
Thalassiosira sp.											
SUM		7302.1	71939.0	313069.5	972556.2	7380.2	5905.0	610.5	10062.0	595.2	444.5
COUNT		25.0	20.0	25.0	21.0	25.0	20.0	15.0	21.0	7.0	9.0

NO DAY	W I	28-2	28-4	28-6	28-8	28-10	28-12	28-14	28-16	28-18	29-2
Pennales											
Asterionella glacialis	COSMO-N			301.0	1357.9	2217.6	3.4				7.0
Campylosira cymbelliforans				60.2							
Denticulopsis marina	CO						13.6				
Navicula sp.											
Nitzschia granulata	CO									71.5	
Nitzschia seriata	COS-PAN			4123.7	41214.1	70585.0	217.6	1500.0	118.8	338.0	12.4
Nitzschia sp.											
Pimorusigma elongatum	COS-PAN										
Pimorusigma intermedium											
Pseudoneustola dolobius											35.0
Thalassionema nitzschiae	COSMO-N	556.8	10985.5	12918.4	9424.8	299.2	217.5	128.7	110.5	18.6	451.5
Thalassiothrix longissima	CO	351.1	1143.8	734.0	207.9	51.0	142.5	19.8	6.5		
Thalassiothrix frauenfeldii	WN	1358.9	4484.9	7340.0	14205.3	2839.0	3232.5	1069.2	760.5	74.4	133.0
SUM		2268.8	21190.4	63637.8	97020.0	3423.8	5092.5	1336.5	1287.0	105.4	626.5
COUNT		3.0	7.0	6.0	6.0	6.0	4.0	4.0	5.0	3.0	4.0

29-4	29-5	29-8	29-10	29-12	29-14	29-16	29-18	29-20	19-2	19-4	19-6	19-8	19-10	NO DAY
7,2	7,17	8,1	8,20	8,30	9,3	9,17	10,2	10,15	11,1	11,15	12,5	1,16	1,30	Bacillariophyceae Centrales
		6,6												51,0
		6,6												19,5
6,8	12,2	3283,2	283,8	35081,7	704,0	728,0	419,1	10150,5	325,6	231,2	689,0	2408,0		Bacteriastrum coosum
		342,0	429,0	9438,4	121,6	39,0					136,5			Bacteriastrum coosum v. hispida
		4309,2	378,2	14261,7	614,4	747,5	943,8	12060,0	555,0	693,6	1384,5	8939,7	1024,8	Bacteriastrum delcatulium
				13498,3				5795,5						Bacteriastrum hyalinum
														Bacteriastrum varians
														Chaetoceros affine
														Chaetoceros affine v. circinalis
														Chaetoceros atlanticus
														Chaetoceros coarctatum
														Chaetoceros compressum
														Chaetoceros concavicornue
														Chaetoceros curvifusum
														Chaetoceros debile
														Chaetoceros decipiens
														Chaetoceros densum
														Chaetoceros denticulatum
														Chaetoceros didymum
														Chaetoceros didymum v. englica
														Chaetoceros distans
														Chaetoceros diversum
														Chaetoceros frichei
														Chaetoceros lorenzenianus
														Chaetoceros messanense
														Chaetoceros peruviana
														Chaetoceros pseudocurvisetum
														Chaetoseros radicans
														Chaetoseros vanheurckii
														Climacodium frauenfeldianum
														Corethron criophilum
														Coscinodiscus oculus-iridis
														Coscinodiscus vallesii
														Coscinodiscus sp.
														Ditylum brightwelli
														Eucampia zodiacus
														Guiniera flaccida
														Hedisia hauckii
														Hedisia membranaceus
														Lauderia annulata
														Mastogloia sp.
														Melosira moniliformis
														Melosira sp.
														Odontella longicrus
														Odontella mobilensis
														Odontella pulchella
														Odontella sinensis
														Planctonella sol
														Rhizosolenia alata
														Rhizosolenia alata f. indica
														Rhizosolenia bergoni
														Rhizosolenia calcaravis
														Rhizosolenia crassarene
														Rhizosolenia cylindrus
														Rhizosolenia fragillissima
														Rhizosolenia hebetula f. semispina
														Rhizosolenia robusta
														Rhizosolenia setigera
														Rhizosolenia stolterfothi
														Rhizosolenia stylifloris
														Skeletonema costatum
														Stephanopxis palmeriana
														Thalassiosira decipiens
														Thalassiosira sp.
11036,6	2281,4	60123,6	6256,8	134321,0	5740,8	7640,9	2905,7	74721,9	6719,2	9201,4	20117,8	1539725,6	16137,6	SUM
12,0	16,0	15,0	24,0	21,0	18,0	23,0	19,0	27,0	25,0	31,0	39,0	31,0	31,0	COUNT

29-4 7.2	29-5 7.17	29-8 8.1	29-10 8.20	29-12 8.30	29-14 9.3	29-16 9.17	29-18 10.2	29-20 10.15	19-2 11.1	19-4 11.15	19-6 12.5	19-8 1.15	19-10 1.30	NO DAY		
					69.4	58.5	82.5	2680.0	222.0	20.4	104.0	8849.4	994.3	Pennales		
					5.6	6.4									<i>Asterionella glacialis</i>	
					85.8		19.2	26.0							<i>Campylosira cymbelliforis</i>	
						34.7									<i>Denticulopsis marina</i>	
															<i>Nauvilia sp.</i>	
															<i>Nitzschia granulii</i>	
															<i>Nitzschia serlata</i>	
															<i>Nitzschia sp.</i>	
															<i>Pleurosigma elongatum</i>	
															<i>Pleurosigma intermedium</i>	
															<i>Pseudoneomita dololius</i>	
															<i>Thalassionema nitzschiaoides</i>	
															<i>Thalassiothrix longissima</i>	
															<i>Thalassiothrix frauenfeldii</i>	
34.0					33.0	1873.8	32.0	84.5	9.9	837.5	44.4	61.2	65.0	1505.0	91.5	
					274.5	32832.0	26.4	520.5	409.6	39.0	9.9	1708.5	791.8	401.2	377.0	993.3
									19.8			7.4				
												6.8	26.0	60.2	6.1	
5.8																
57.8	12.2				138.6	971.6	192.0	351.0	2422.2	8676.5	407.0	40.8	162.5	6230.7	115.9	
23.8	12.2				13.2		51.2			562.5	2316.2	428.4	247.0	120.2	30.5	
88.4	24.4	478.8			1623.6	5829.6	2041.6	6675.5	4953.3	38960.5	8635.8	4154.8	3419.0	44216.9	1744.6	
210.8	323.3	33310.8			1947.0	9299.6	2752.0	7234.5	7477.8	53425.5	12424.6	5113.6	4400.5	61975.7	2982.9	
5.0	4.0	2.0			8.0	6.0	7.0	6.0	5.0	6.0	7.0	7.0	7.0	7.0	COUNT	

Appendix 1. Continued

NO	WI	28-2	28-4	28-6	28-8	28-10	28-12	28-14	28-16	28-18	29-2
DAY		2.1	2.14	2.28	3.17	4.3	4.16	5.1	5.14	6.3	6.15
Dinophyceae											
<i>Ceratium arrietinum</i>	WO						75.0	217.8	52.0	12.4	21.0
<i>Ceratium belone</i>	W										
<i>Ceratium breve</i>	WO										
<i>Ceratium bucephalum</i>	WN										
<i>Ceratium californicum</i>	WO										
<i>Ceratium carriense v. volans f. ceylae</i>	WO										
<i>Ceratium contrarium</i>	WO				30.1			457.7			
<i>Ceratium deflectum</i>	WO										
<i>Ceratium furca</i>	COSMO-N										
<i>Ceratium furus</i>	WN							75.6	13.2		24.8
<i>Ceratium fusus v. seta</i>	W				73.4						
<i>Ceratium gibberum</i>	WO								6.5		
<i>Ceratium gibberum f. sinistrum</i>	WO							15.0			
<i>Ceratium gracile</i>	WO									6.5	
<i>Ceratium gravidum</i>	WO								3.3		
<i>Ceratium Intermedium</i>		10.7									
<i>Ceratium inflatum</i>	WO										
<i>Ceratium kofoidii</i>	W					346.5	10.2	15.0		6.2	10.5
<i>Ceratium longissimum</i>	WO										
<i>Ceratium lunula f. brachyceros</i>	WO										
<i>Ceratium lunula f. megaceros</i>	WO										
<i>Ceratium macrocaros</i>	WO				10.7				3.3	6.2	3.5
<i>Ceratium macrocaros var. gallicum</i>	WO										
<i>Ceratium massiliense</i>	WO								23.1		
<i>Ceratium molle</i>	WO										
<i>Ceratium palmatum v. ranipes</i>	WO								3.3		
<i>Ceratium pentagonum</i>	WO										
<i>Ceratium pulchellum</i>	WO										
<i>Ceratium reticulatum v. spiralis</i>	WO									6.5	
<i>Ceratium schmidtii</i>	WO										
<i>Ceratium suecicum</i>	WO										
<i>Ceratium tenuum</i>	WO										
<i>Ceratium trichoceros</i>	WO										
<i>Ceratium tripos typica</i>	CN		30.1		69.3		7.5	33.0	26.0	6.2	3.5
<i>Ceratium vulgaris v. tenuum</i>	WO										
<i>Ceratocorys areata</i>	WO										
<i>Dinophysis fortii</i>											
<i>Dinophysis ovum</i>							37.5				
<i>Prorocentrum sp.</i>										2331.2	
<i>Protoperidinium bidentatum</i>							7.5				
<i>Protoperidinium depressum</i>	COSMO	21.4						231.0	45.5	55.8	45.5
<i>Protoperidinium divergens</i>	WN								13.0		3.5
<i>Protoperidinium grande</i>	WN							7.5			
<i>Protoperidinium granii</i>	COSMO-N										
SUM		42.8	60.2	73.4	415.8	10.2	698.3	561.0	156.0	2442.8	87.5
COUNT		3.0	2.0	1.0	2.0	1.0	9.0	11.0	7.0	7.0	6.0

NO	WI	28-2	28-4	28-6	28-8	28-10	28-12	28-14	28-16	28-18	29-2
DAY		2.1	2.14	2.28	3.17	4.3	4.16	5.1	5.14	6.3	6.15
Silicoflagellata											
<i>Dictyocha fibula</i>	COS-PAN				35.7	207.9	6.8				
<i>Distephanus speculum</i>			180.5	1908.4	1108.8	3.4					
SUM		0.0	180.5	1945.1	1316.7	10.2	0.0	0.0	0.0	0.0	0.0
COUNT		0.0	1.0	2.0	2.0	2.0	0.0	0.0	0.0	0.0	0.0

TOTAL		28-2	28-4	28-6	28-8	28-10	28-12	28-14	28-16	28-18	29-2
DAY		2.1	2.14	2.28	3.17	4.3	4.16	5.1	5.14	6.3	6.15
SUM		9613.7	93370.2	378725.8	1071308.7	10824.4	11695.8	2508.0	11505.0	3143.4	1158.5
COUNT		30.0	29.0	34.0	31.0	33.0	29.0	33.0	29.0	33.0	19.0

29-4	29-6	29-8	29-10	29-12	29-14	29-16	29-18	29-20	19-2	19-4	19-6	19-8	19-10	NO	DAY
7.2	7.17	8.1	8.20	8.30	9.3	9.17	10.2	10.15	11.1	11.15	12.5	1.16	1.30	Dinophyceae	
20.4	18.3		33.0		6.4							30.1	18.3	Ceratium arrietinum	
3.4			13.2			13.0			14.8	6.8	13.0			Ceratium belone	
6.8									7.4					Ceratium breve	
85.4	26.4	104.1			5.5									Ceratium bucephalum	
3.4	42.7	205.2	145.2	138.8	32.0	201.5	13.2	301.5	175.2	156.4	45.5	120.4	6.1	Ceratium carriense	
13.6														Ceratium carriense v. volans f. cey	
10.2	24.4			6.6	34.7				14.8	6.8	13.0			Ceratium contratum	
57.8	6.1		125.4	451.1	256.0	208.0		268.0	14.8	64.4	136.5	90.3	24.4	Ceratium contiforme	
103.7	478.8			34.7										Ceratium furca	
109.8	12.2	68.4	6.6		6.4			157.5	7.4		13.0			Ceratium fusus v. seta	
54.5														Ceratium gibberum	
3.4														Ceratium gibberum f. sinistrum	
57.8	6.1													Ceratium gracile	
103.7	478.8													Ceratium gravidum	
10.2	140.3	205.2		52.8		45.5	693.0							Ceratium intermedium	
30.6	91.5	68.4	66.0	34.7	19.2	110.5		100.5	29.6	61.2	84.5		6.1	Ceratium inflatum	
		19.8												Ceratium kofoidii	
														Ceratium longissimum	
														Ceratium lunula f. brachyceros	
														Ceratium lunula f. megacerous	
														Ceratium macroceros	
														Ceratium macroceros var. gallicum	
														Ceratium massiliense	
														Ceratium molle	
														Ceratium palmatum v. ranipes	
														Ceratium pentagonum	
														Ceratium pulchellum	
														Ceratium reticulatum v. spiralis	
														Ceratium schmidtii	
														Ceratium sumatranum	
														Ceratium tenue	
														Ceratium trichoceros	
														Ceratium tripos typica	
														Ceratium vulter v. tenue	
														Caracotrys arastum	
														Dinophysis fortii	
														Dinophysis ovata	
														Prorocentrum sp.	
44.2	54.9	72.6		34.7	44.8	110.5		167.5	51.8	47.6	78.0	30.1	48.8	Protoperdidinium bidentatum	
														Protoperdidinium depressum	
														Protoperdidinium divergens	
														Protoperdidinium grande	
														Protoperdidinium grani	
268.6	689.3	1098.6	547.8	1041.0	505.6	2171.0	828.3	1574.5	414.4	581.2	787.0	495.8	103.7	SUM	
12.0	11.0	6.0	11.0	10.0	9.0	12.0	4.0	8.0	11.0	10.0	12.0	7.0	5.0	COUNT	

29-4	29-6	29-8	29-10	29-12	29-14	29-16	29-18	29-20	19-2	19-4	19-6	19-8	19-10	NO	DAY
7.2	7.17	8.1	8.20	8.30	9.3	9.17	10.2	10.15	11.1	11.15	12.5	1.16	1.30	Silicoflagellata	
				19.8	32.0	110.5	33.0	1273.0	7.4	20.4	91.0	150.5		Dictyocha fibula	
					6.4			33.5						Distephanus speculum	
0.0	0.0	0.0	19.8	0.0	38.4	110.5	33.0	1306.5	7.4	20.4	91.0	361.2		SUM	
0.0	0.0	0.0	1.0	0.0	2.0	1.0	1.0	2.0	1.0	1.0	1.0	2.0	1.0	COUNT	

7.2	7.17	8.1	8.20	8.30	9.3	9.17	10.2	10.15	11.1	11.15	12.5	1.16	1.30	TOTAL	DAY
11516.0	3294.0	94533.0	8771.4	144551.6	9036.8	17156.9	11244.8	131028.4	19565.6	14916.6	25996.3	1602558.3	19236.4	SUM	
29.0	31.0	23.0	44.0	37.0	35.0	42.0	29.0	43.0	44.0	49.0	58.0	47.0	43.0	COUNT	